

计算得到单晶的弹性常数来研究 GdTaO₄ 的力学各向异性。杨氏模量 (E) 在三维空间内对方向的函数表达式为^[8]:

$$\frac{1}{E} = l_1^4 S_{11} + l_2^4 S_{22} + l_3^4 S_{33} + 2l_1^2 l_2^2 S_{12} + 2l_1^2 l_3^2 S_{13} + 2l_1^3 l_3 S_{15} + 2l_2^3 l_3 S_{23} + 2l_1 l_2^2 l_3 S_{25} + 2l_1 l_3^3 S_{35} + l_2^2 l_3^2 S_{44} + 2l_1 l_2^2 l_3 S_{46} + l_1^2 l_3^2 S_{55} + l_1^2 l_2^2 S_{66} \quad (6)$$

其中, S_{ij} 为弹性柔度常数, l_1 、 l_2 和 l_3 为方向余弦。

GdTaO₄ 杨氏模量的三维曲面图如图 3a 所示, 可以看到 GdTaO₄ 的杨氏模量具有强烈的各向异性, 其沿 [100] 晶向的杨氏模量值 (约 620 GPa) 约为 [010] 和 [001] 方向上的 3 倍 (约 230 GPa)。进一步得到 GdTaO₄ 杨氏模量的三维曲面图在各个晶面上的二维投影, 如图 3b 所示, 可以看到杨氏模量在 (001) 和 (010) 晶面上的各向异性明显强于 (100) 和 (110) 晶面。

2.3 GdTaO₄ 的热导率

根据式 (1) 得到材料的热导率, 必须首先获得材料的等压热容 (C_p) 和热扩散系数 (α), 通过 Kopp-Neumann 准则计算得到的 GdTaO₄ 的等压热容如图 4a 所示, 并和 8YSZ 与 7YSZ 的热容进行比较^[9,10], 可以看出, GdTaO₄ 的热容明显低于 8YSZ 与 7YSZ 的热容值。实验测得的 GdTaO₄ 的热扩散系数如图 4b 所示, 其值低于文献中报道的 7YSZ^[9] 和 La₂Zr₂O₇^[11] 的热扩散系数值。由式 (1) 计算得到的 GdTaO₄ 的热导率如图 4c 所示, 并与其它典型热障涂层材料的热导值进行比较, 可以看出, 800 °C 下 GdTaO₄ 的热导率 (约为 1.70 W·m⁻¹·K⁻¹) 明显低于 7YSZ (约为 2.37 W·m⁻¹·K⁻¹), 8YSZ (约为 2.47 W·m⁻¹·K⁻¹) 和 La₂Zr₂O₇, 但是高于

Gd₂Zr₂O₇ 和 Ba₂ErAlO₅^[12]。另外, 在仅考虑声子-声子散射的情况下, 通过 Slack 模型可以理论预测材料的

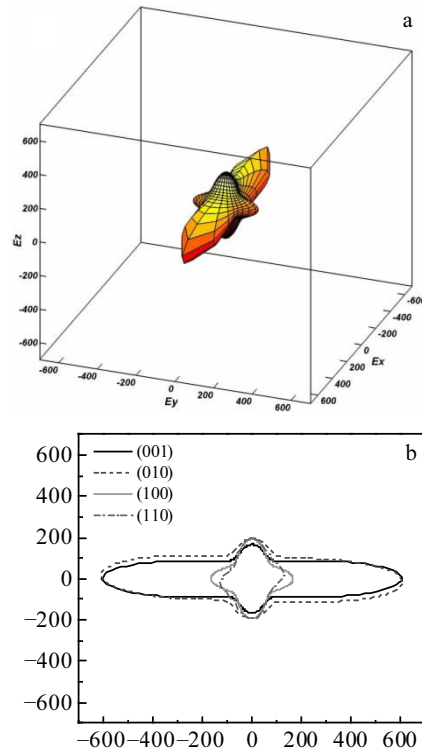


图 3 GdTaO₄ 杨氏模量的三维曲面图和 GdTaO₄ 杨氏模量在各个晶面上的投影

Fig.3 Surface contours (a) and planar projections (b) of Young's modulus for GdTaO₄

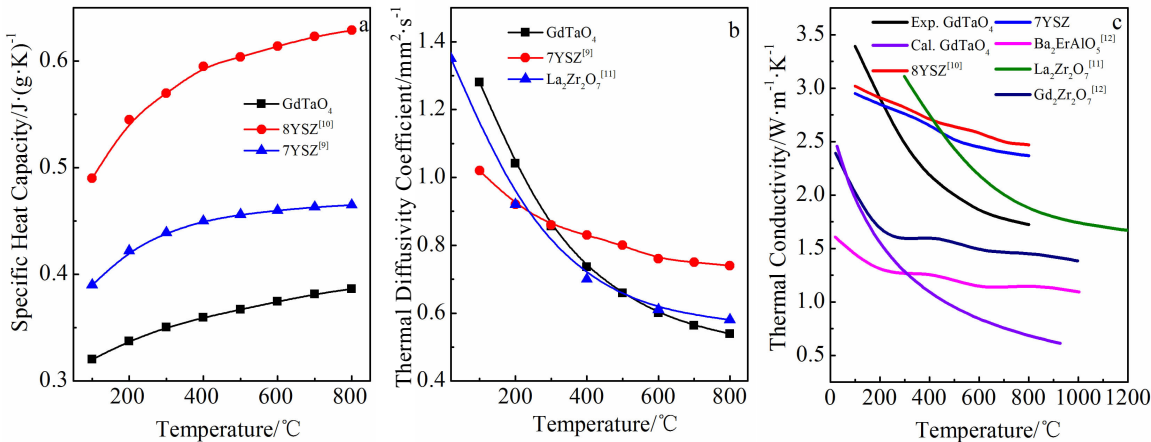


图 4 GdTaO₄ 的热容和热扩散系数随温度的变化以及实验和理论计算的 GdTaO₄ 的热导率随温度的变化

Fig.4 Temperature dependent specific heat capacity (a) and thermal diffusivity coefficient (b) of GdTaO₄; (c) temperature dependent experimental and calculated thermal conductivity of GdTaO₄^[9-12]

